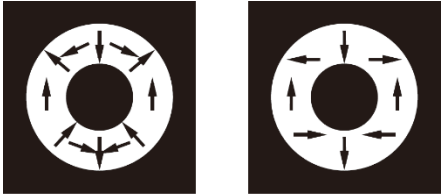



# 正誤表

## 光エレクトロニクスの玉手箱Ⅱ

章	頁	該当箇所	誤	正
20	37	右 図 11		
21	62	右 図 29(b)		
21	62	右上 2 行	式(1)で示されるように	式(19)で示されるように
24	109	コラム D 図 D		
28	181	右 式(9)	$V = \frac{1}{\sqrt{1-b}} \left[ \tan^{-1} \sqrt{\frac{m_{e1}^*}{m_{e2}^*} \frac{1}{1-b}} + (n-1) \frac{\pi}{2} \right]$	$V = \frac{1}{\sqrt{1-b}} \left[ \tan^{-1} \sqrt{\frac{m_{e1}^*}{m_{e2}^*} \frac{b}{1-b}} + (n-1) \frac{\pi}{2} \right]$
28	187	コラム D 上 5 行	膜圧	膜厚
29	198	右 式(13)	$\frac{B}{A} = \frac{(\alpha_1^2 - \alpha_2^2)(1 - e^{2ik_2a})}{(\alpha_1 + \alpha_2)^2 + (\alpha_1 - \alpha_2)^2 e^{2ik_2a}} \quad (13)$	$\frac{B}{A} = \frac{(\alpha_1^2 - \alpha_2^2)(1 - e^{2ik_2a})}{(\alpha_1 + \alpha_2)^2 - (\alpha_1 - \alpha_2)^2 e^{2ik_2a}} \quad (13)$
29	198	右 式(14)	$\frac{C}{A} = \frac{4\alpha_1\alpha_2 e^{2i(k_2-k_1)a}}{(\alpha_1 + \alpha_2)^2 - (\alpha_1 - \alpha_2)^2 e^{2ik_2a}} \quad (14)$	$\frac{C}{A} = \frac{4\alpha_1\alpha_2 e^{i(k_2-k_1)a}}{(\alpha_1 + \alpha_2)^2 - (\alpha_1 - \alpha_2)^2 e^{2ik_2a}} \quad (14)$

章	頁	該当箇所	誤	正
30	213	左 式(18)	$E_r = -\frac{i}{\kappa^2} \left[ \beta \frac{\partial E_z}{\partial r} + \frac{\omega \mu_0}{r} \frac{\partial H_z}{\partial \theta} \right] \quad (18a)$ $E_\theta = -\frac{i}{\kappa^2} \left[ \frac{\beta}{r} \frac{\partial E_z}{\partial \theta} - \omega \mu_0 \frac{\partial H_z}{\partial r} \right] \quad (18b)$ $H_r = -\frac{i}{\kappa^2} \left[ -\frac{\omega \varepsilon_0 n^2}{r} \frac{\partial E_z}{\partial \theta} + \beta \frac{\partial H_z}{\partial r} \right] \quad (18c)$ $H_\theta = -\frac{i}{\kappa^2} \left[ \omega \varepsilon_0 n^2 \frac{\partial E_z}{\partial r} + \frac{\beta}{r} \frac{\partial H_z}{\partial \theta} \right] \quad (18d)$	$E_r = -\frac{i}{k_0^2 n^2 - \beta^2} \left[ \beta \frac{\partial E_z}{\partial r} + \frac{\omega \mu_0}{r} \frac{\partial H_z}{\partial \theta} \right] \quad (18a)$ $E_\theta = -\frac{i}{k_0^2 n^2 - \beta^2} \left[ \frac{\beta}{r} \frac{\partial E_z}{\partial \theta} - \omega \mu_0 \frac{\partial H_z}{\partial r} \right] \quad (18b)$ $H_r = -\frac{i}{k_0^2 n^2 - \beta^2} \left[ -\frac{\omega \varepsilon_0 n^2}{r} \frac{\partial E_z}{\partial \theta} + \beta \frac{\partial H_z}{\partial r} \right] \quad (18c)$ $H_\theta = -\frac{i}{k_0^2 n^2 - \beta^2} \left[ \omega \varepsilon_0 n^2 \frac{\partial E_z}{\partial r} + \frac{\beta}{r} \frac{\partial H_z}{\partial \theta} \right] \quad (18d)$
30	213	右 式(22)右辺	$= \frac{l^2 \beta^2}{k_0^2 n_1^2} \left[ \frac{1}{(\kappa a)^2} + \frac{1}{(\gamma a)^2} \right]^2 \quad (22)$	$= \frac{l^2 \beta^2}{k_0^2 n_1^2} \left[ \frac{1}{(\kappa a)^2} + \frac{1}{(\gamma a)^2} \right]^2 \quad (22)$
30	216	左 図 6	<p>——</p> <p>---</p>	<p>—— 電気力線</p> <p>--- 磁力線</p>
30	216	左 図 6 説明	電磁界分布 <sup>9)</sup>	電磁界分布 <sup>7)</sup>
30	217	右 図 9(a)	 <p>HE<sub>31</sub>                      HE<sub>31</sub></p>	 <p>HE<sub>31</sub> (<math>\theta = m\pi/6</math>)                      HE<sub>31</sub> (<math>\theta = m\pi/4</math>)</p>
30	217	右 図 9(c)	EH <sub>11</sub> - EH <sub>31</sub>	EH <sub>11</sub> - HE <sub>31</sub>
30	217	右 図 9(d)	2HE <sub>12</sub> - EH <sub>31</sub> - EH <sub>11</sub>	2HE <sub>12</sub> - HE <sub>31</sub> - EH <sub>11</sub>
30	218	右 図 11 縦軸	規格化伝搬定数	規格化伝搬定数
30	223	参考文献 5) 下 2 行	2443-2448 (2005) 6) D. Gloge: ----	2443-2448 (2005) 6) D. Gloge: ----
30	223	参考文献 9)	9) E. Snitzer: "Cylindrical dielectric waveguide modes", J. Opt. Soc. Am., Vol. 51, No. 5, pp. 491-498 (1961)	9) E. Snitzer: "Cylindrical dielectric waveguide modes", J. Opt. Soc. Am., Vol. 51, No. 5, pp. 491-498 (1961); E. Snitzer and H. Osrerberg: "Observed dielectric waveguide modes in the visible spectrum", J. Opt. Soc. Am., Vol. 51, No. 5, pp. 499-505 (1961)
32	246	右下 2 行	第 31 章の式(53)	第 30 章の式(53)